

BOLETÍN OCEANOGRÁFICO

Semana 9: 26 de febrero - 03 de marzo 2024

*Jessica Bonicelli Proaño, Adrián Bustamante Maino
Departamento de Oceanografía y Medio Ambiente (DOMA)*

De acuerdo a la escala regional, la Anomalía de Temperatura Superficial del Mar (ATSM) de la región Niño 1+2 (**Figura 1**) mostro un ligero incremento durante febrero, respecto al mes anterior. Desde febrero 2023 hasta la fecha los valores se han mantenido positivos, a diferencia del año 2022, que se registraron anomalías negativas en todo el año. Los modelos de pronóstico, publicados en el último boletín de la NOAA indican, con una probabilidad del 79%, una transición de El Niño a una condición neutral en abril-junio de 2024, y con una probabilidad del 55% que se desarrolle La Niña en junio-agosto 2024 (NOAA, 2024).

En la zona norte (**Figura 1a**), la ATSM del sector costero, durante la semana 9, disminuyó en ambas subzonas, alcanzado una ATSM alrededor de $+1^{\circ}\text{C}$ en la subzona norte ($18,26^{\circ}\text{S} - 21^{\circ}\text{S}$) y cerca a cero en la subzona sur ($21^{\circ}\text{S} - 24^{\circ}\text{S}$). La ATSM promedio de la semana 9 (**Figura 1a, panel derecho**) mostró una alta cobertura de valores positivos de alta intensidad en el sector costero de la subzona norte, aunque no se presenciaron focos $> 3^{\circ}\text{C}$, como se observó en la semana anterior, y las mayores ATSM ($>2,5^{\circ}\text{C}$) se presentaron al norte de los 19°S . En la subzona sur hubo una reducción de la cobertura de ATSM positivas con respecto a la semana 8, y las mayores ATSM positivas ($>1,5^{\circ}\text{C}$) se concentraron principalmente al sur de la península de Mejillones.

En la zona centro-norte (**Figura 1b**), las series de tiempo de ATSM promedio del sector costero de las subzonas norte ($24^{\circ}\text{S} - 28^{\circ}\text{S}$) y sur ($28^{\circ}\text{S} - 32^{\circ}\text{S}$) también mostraron una disminución en la semana 9, aunque menos drásticas que en la zona norte. La ATSM promedio de la semana 9 (**Figura 1b, panel derecho**) mostró una alta cobertura espacial de ATSM positivas en la subzona norte y sur, que principalmente fluctuaron entre $0,5^{\circ}\text{C}$ y $1,5^{\circ}\text{C}$. Las ATSM más altas ($>+2^{\circ}\text{C}$) se ubicaron en un foco pequeño, entre los 25°S y 26°S , al igual que en la semana 8.

En la zona centro-sur (**Figura 1c**), en la semana 9, la ATSM promedio del sector costero mostró una ligera disminución en ambas subzonas, alcanzado valores cercanos a $+0,5^{\circ}\text{C}$ en la subzona norte y cercanos a -1°C en la subzona sur. En el mapa de distribución de ATSM promedio de la semana 9 (**Figura 1c, panel derecho**) se observó una diferencia entre el sector costero de las subzonas norte y sur, con focos de ATSM positivas en la subzona norte y negativas en la subzona sur, al igual que la semana anterior.

En la zona sur (**Figura 1d**), se observaron ATSM cercanas a cero durante la semana 9, en la subzona sur del mar interior. Mientras que, la ATSM de la subzona norte del mar interior presentó un aumento, llegando a alcanzar valores neutros el último día de la semana. En la zona sur, el mapa de distribución de la semana 9, mostró una amplia cobertura de ATSM neutras en el mar interior en ambas subzonas (**Figura 1d, panel derecho**).

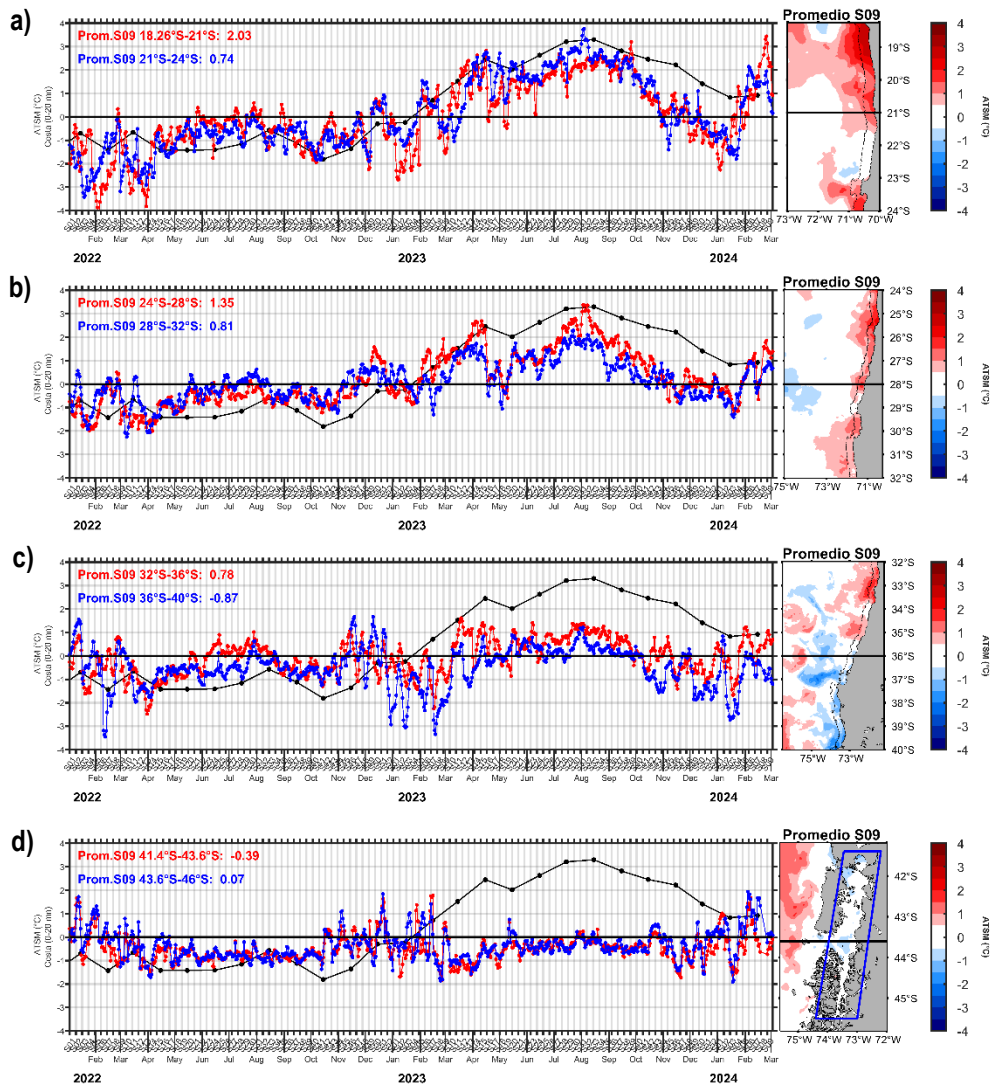


Figura 1. Series de tiempo diarias del promedio de la ATSM registrada en las primeras 20 mn de distancia a la costa (paneles izquierdos), de las subzonas norte (línea roja) y sur (línea azul) para la zona norte (a), centro-norte (b), centro-sur (c) y sur (d) de Chile. En cada panel izquierdo se muestra la serie de tiempo mensual de la ATSM de la región Niño 1+2 (línea negra) y se incluye el promedio de la semana 9 de ATSM de cada subzona. Distribución espacial de la ATSM promedio de la semana 9 (paneles derechos) para las zonas norte (a), centro-norte (b), centro-sur (c) y sur (d) de Chile. En cada panel derecho se muestra la división de las subzonas norte y sur con una línea negra horizontal, además de las primeras 20 mn de distancia a la costa (sector costero) con una línea negra punteada (a,b,c) y el mar interior con un recuadro azul (d). La información de ATSM fue extraída del producto MUR, calculadas en base a la climatología de TSM satelital del periodo 2002 – 2013.

Referencias

NOAA, 2024. El Niño/Oscilación del sur (ENOS), discusión diagnóstica. 8 de febrero de 2024.
https://origin.cpc.ncep.noaa.gov/products/analysis_monitoring/enso_disc_feb2024/ensodisc_Sp.pdf